

PHOSPHABUTATRIENE
1,2-BIS(PHOSPHAALLENYL)CYCLOBUTANE

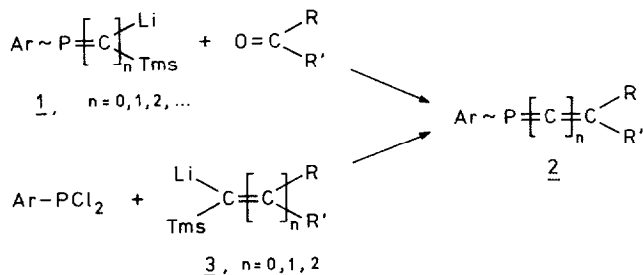
G. Märkl und P. Kreitmeier*

Institut für Organische Chemie der Universität Regensburg
Universitätsstraße 31, D-8400 Regensburg, BRD

Summary: The lithiated secondary aryl-trimethylsilylethynylphosphane (aryl = 2,4,6-tris-tert-butylphenyl) reacts with ketones to give the title compounds.

Die Wittig-Peterson-Kondensation ist eine sehr allgemeine Methode zur Darstellung von Phosphaalkenen und Phosphakumulen.

Ausgehend von den metallierten Systemen von Typ 1 wurden durch Umsetzung mit Carbonylverbindungen sowohl Phosphaalkene 2, n = 0 (aus 1, n = 0) [1] als auch Phosphaallene 2, n = 1 (aus 1, n = 1) [2] dargestellt (Weg A); mit Ketenen reagiert 1, n = 0 ebenfalls unter Bildung der Phosphaallene [3]:

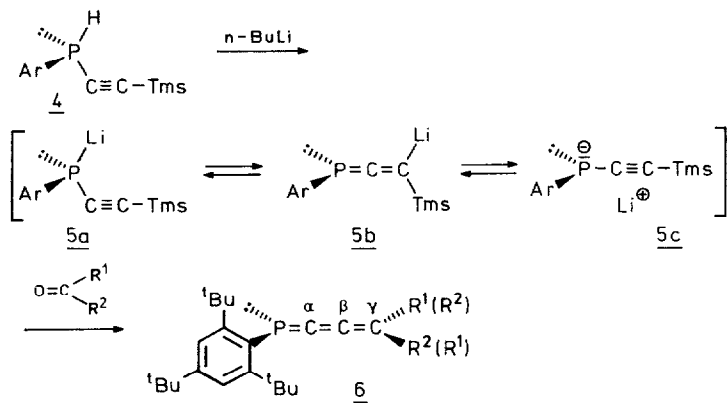


Der umgekehrte Weg der Umsetzung der metallierten Alkene 3 mit Dichlorphosphanen wurde z.B. für die erstmalige Darstellung von Phosphabutatrienen 2, n = 2 (aus 3, n = 2) [4] beschritten (Weg B).

Die Metallierung des Trimethylsilylethynylphosphans 4 [5] mit n-BuLi liefert 5, dessen ³¹P-NMR-Spektrum (THF/Toluol d-8 5:1) für das überwiegende Vorliegen des Phosphids 5c spricht (³¹P-NMR : 4 (-50 °C),

$\delta = -101.2$ ppm; 4 + n-BuLi (-50°C), -109.9 ppm; (-20°C), -109.2 ppm; ($+33^\circ\text{C}$), -105.7 ppm); da eine $^{31}\text{P}/^7\text{Li}$ -Kopplung [6] nicht beobachtet wird, ist 5a auszuschließen, der beobachtete $\delta(^3\text{P})$ -Wert ist auch nicht mit 5b vereinbar.

Zur Darstellung der Phosphabutatriene 6 gibt man die Lösung von 5 in THF bei -78°C zur THF-Lösung des Ketons, nach 2-stdg. Reaktionszeit versetzt man bei R.T. mit 1 Moläquivalent Trimethylchlorsilan und arbeitet nach 30 min. auf.



6a, $\text{R}^1=\text{R}^2=\text{C}_6\text{H}_5$ [4], Ausb. 70 %, Schmp. $149\text{--}150^\circ\text{C}$, gelbe Nadeln (aus EtOH); Lit.schmp. $156\text{--}157^\circ\text{C}$; $^{31}\text{P-NMR}$ (CDCl_3), $\delta = 92.0$ ppm.

6b, $\text{R}^1=\text{C}_6\text{H}_5$, $\text{R}^2=4\text{-Cl-C}_6\text{H}_4$, Ausb. 64 %, Schmp. $193\text{--}196^\circ\text{C}$ (Zers.), gelbe Kristalle (aus Toluol/Acetonitril); MS (70 eV), M^+ , $m/z = 500/2$ (20%), $[\text{M}\cdot\text{CH}_3]^+$, 485/7 (3%), $[\text{M-C}_4\text{H}_8]^+$, 444/6 (12%), $[\text{M}\cdot\text{C}_4\text{H}_9]^+$, 443/5 (19%), $[\text{444}\cdot\text{Cl}]^+$, 409 (10%), $[\text{ArPH}]^+$, 277 (20%), $[\text{ArP}]^+$, 276 (17%).

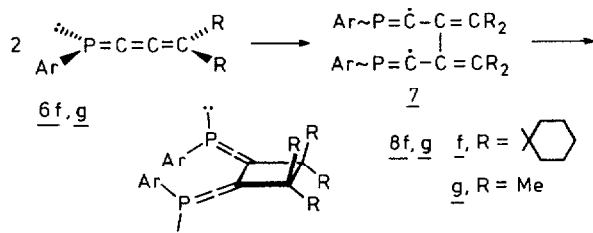
6c, $\text{R}^1=\text{C}_6\text{H}_5$, $\text{R}^2=4\text{-MeO-C}_6\text{H}_4$, Ausb. 62 %, orangefarbige Kristalle (aus EtOH), Schmp. $110\text{--}116^\circ\text{C}$ (E/Z-Isomerengemisch 1:1); MS (70 eV), M^+ , $m/z = 496$ (18%); $[\text{M}\cdot\text{CH}_3]^+$, 481 (3 %); $[\text{M}\cdot\text{OCH}_3]^+$, 465 (5 %); $[\text{M-C}_4\text{H}_8]^+$, 440 (12 %); $[\text{440-C}_4\text{H}_8]^+$, 384 (12 %); $[\text{384-C}_4\text{H}_8]^+$, 328 (7 %); $[\text{ArPH}]^+$, 277 (39 %); $^{31}\text{P-NMR}$, $\delta = 150.6$, 149.2 ppm (E/Z); $^{13}\text{C-NMR}$, $\alpha\text{-C: } 178.2$, 178.0 (d, $^1\text{J(P/C)} = 25.87$ Hz); $\beta\text{-C: } 163.2$, 162.9 (d, $^2\text{J(P/C)} = 35.82$ Hz); $\gamma\text{-C: } 136.8$, 136.5 (d, $^3\text{J(P/C)} = 59.05$ Hz); $^1\text{H-NMR}$ (250 MHz, CDCl_3), $\text{OCH}_3 : 3.80$, 3.87 ppm.

6d, $\text{R}^1=\text{R}^2=4\text{-Me}_2\text{N-C}_6\text{H}_4$, Ausb. 57 %, tiefrote Nadeln (aus Acetonitril),

Schmp. 175–179 °C (Zers.); MS (70 eV), M^+ , $m/z = 552$ (100 %), $[C_{19}H_{32}P]^+$, 291 (24 %) [$HC\equiv C-C(C_6H_4NMe_2)_2]^+$, 277 (85 %); ^{31}P -NMR, $\delta = 123.8$ ppm; ^{13}C -NMR, α -C : 175.6 ($^1J(P/C) = 25.8$ Hz); β -C : 157.3 ($^2J(P/C) = 35.2$ Hz); γ -C : 123.9 ($^3J(P/C) = 43.8$ Hz).

6e, $R^1=R^2=$ Adamantyl, Ausb. 48 %, gelbe Kristalle (aus EtOH), Schmp. 124–126 °C; MS (70 eV), M^+ , $m/z = 434$ (11%), $[M-C_4H_9]^+$, 377 (100 %), $[377-CH_3]^+$, 362 (31 %), Adamantyl $^+$, 134 (13%); ^{31}P -NMR, $\delta = 119.5$ ppm; ^{13}C -NMR, α -C : 185.4 (d, $^1J(P/C) = 21.2$ Hz); β -C : 157.9 (d, $^2J(P/C) = 26.5$ Hz); γ -C : 135.4 (d, $^3J(P/C) = 39.1$ Hz).

Die Umsetzung von 5 mit Cyclohexanon liefert ein Dimeres des erwarteten Phosphabutatriens 6f, bei dem es sich nach der Röntgenstrukturanalyse [7] um das 1,2-Bis(phosphaallenyl)cyclobutan 8f handelt:



Mit Aceton reagiert 5 ebenfalls direkt zum Dimeren 8g.

8f, Ausb. 58 %, schwach gelbe Kristalle, Schmp. 194 °C (Zers.) (aus Benzol/ CH_3CN); Mol.gew. (osmom.) 761; MS (70 eV), M^+ , $m/z = 764$ (6%); $[M/2]^+$, 382 (8%); $[M-Ar]^+$, 519 (2%); $[ArH]^+$, 246 (16%); ^{31}P -NMR, $\delta = 90.6$ ppm (92%), 89.7 (8%) (E/Z-Gemisch); ^{13}C -NMR, α -C : 234.9 (dd, $^1J(P/C) = 25.7$ Hz, $^4J(P/C) = 2.2$ Hz); β -C : 127.6 (dd, $^2J(P/C) = 14.0$ Hz, $^3J(P/C) = 12.5$ Hz).

8g, Ausb. 15%, schwach gelbe Kristalle, Schmp. 184 °C (Zers.) (aus Benzol/ CH_3CN); MS (70 eV), M^+ , $m/z = 684$ (6%); $[M-C_4H_9]^+$, 627 (18%); $[M-Ar]^+$, 519 (2%); $[M/2]^+$, 342 (8%); ^{31}P -NMR, $\delta = +92.0$ ppm (91%), 90.5 (9%); ^{13}C -NMR, α -C : 233.3 (dd, $^1J(P/C) = 29.9$ Hz, $^4J(P/C) \approx 2.2$ Hz); β -C : 128.2 (dd, $^2J(P/C) = 14.0$ Hz; $^3J(P/C) = 14.0$ Hz).

Die Kopf/Kopf-Dimerisierung der Phosphabutatriene 6f, 6g ist – analog den bekannten Allendimerisierungen [8] ein Ergebnis der intermediären Bildung der stabilsten Bis-allylradikale 7. Die Dimerisierung ist

offensichtlich ein Ergebnis der Instabilität des Allenteils in 6, bereits für R = Et (6h) sind die Monomeren 6 kinetisch stabilisiert.

6h, R¹= R²= Et, Ausb. 67 %, gelbes Öl; MS (70 eV), M⁺, m/z= 370 (10 %), [M-CH₃]⁺, 355 (48 %), [M-C₄H₈]⁺, 314 (56 %), [314-CH₃]⁺, 299 (48 %); ³¹P-NMR, δ= 119.7 ppm; ¹³C-NMR, α-C : 189.7 (d, ¹J(P/C)= 22.9 Hz); β-C : 162.3 (d, ²J(P/C)= 28.5 Hz); γ-C: 130.6 (d, ³J(P/C)= 41.1 Hz).

6i, R¹= R²= i-Prop; Ausb. 62 %, gelbes Öl; MS (70 eV), M⁺, m/z= 398 (19 %), [M-CH₃]⁺, 383 (84 %), [M-CH₃]⁺, 355 (20 %), [M-C₄H₈]⁺, 342 (43 %), [342-C₄H₈]⁺, 299 (60 %); ³¹P-NMR, δ= 118.5 ppm; ¹³C-NMR, α-C: 191.7 (d, ¹J(P/C)= 25.2 Hz); β-C : 160.7 (d, ²J(P/C)= 19.2 Hz); γ-C : 140.7 (d, ³J(P/C)= 41.8 Hz);

Die kinetische Stabilität der bis-alkyl-substituierten Vertreter 6h - 6i ist in Übereinstimmung mit früheren Beobachtungen [4], bei denen die Phosphabutatriene 6, R¹= Me, R²= SiMe₃ und R¹= R²= SiMe₃ ebenfalls als Monomere stabil sind.

- [1] T. van der Does, F. Bickelhaupt, Euchem Conference Psiblocs, August 1988, Paris-Palaiseau Abstracts of Papers; M. Yoshifuji, T. Niitsu, T. Sato, S. Sasaki, N. Inamoto, ibid.; M. Yoshifuji, K. Toyota, N. Inamoto, Chem. Comm. 1984, 689.
- [2] M. Yoshifuji, S. Sasaki, N. Inamoto, Tetrahedron Lett. 30 (1989) 839.
- [3] M. Yoshifuji, K. Toyota, K. Shibajama, N. Inamoto, Tetrahedron Lett. 25 (1984) 1809; siehe auch R. Appel, P. Fölling, B. Josten, M. Siray, V. Winkhaus, F. Knoch, Angew. Chem. 96 (1984) 620.
- [4] G. Märkl, H. Sejpka, S. Dietl, B. Nuber, M.L. Ziegler, Angew. Chem. 98 (1986) 1020;
- [5] G. Märkl, S. Reithinger, Tetrahedron Lett. 29 (1988) 463;
- [6] Für die ³¹P/⁷Li-Kopplung werden in der Literatur Werte von 35-55 Hz angegeben (Methods in Stereochemical Analysis 8, Phosphorus-31 NMR Spectroscopy in Stereochemical Analysis, Organic Compounds and Metal Complexes, J.C. Verkade, L.D. Quin, 1987, VCH Weinheim);
- [7] Über die von M.L. Ziegler, Anorg. Chem. Inst., Univ. Heidelberg durchgeführte Röntgenstrukturanalyse von 8f wird an anderer Stelle berichtet.
- [8] Siehe z.B. Houben-Weyl, Methoden der Organischen Chemie Bd. V/2a, Alkine, Di- und Polyine, Allene, Kumulene, Georg Thieme Verlag Stuttgart 1977; S. 1063, daselbst weitere Literatur.

(Received in Germany 5 May 1989)